

Données et Modèles pour une Classification Statistique des Vignobles de Côte-d'Or

Jean-Sauveur AY Mohamed HILAL
< jean-sauveur.ay@inrae.fr > < mohamed.hilal@inrae.fr >

Unité Mixte de Recherche CESAER
AgroSup Dijon / INRAE / Université Bourgogne Franche-Comté
26 boulevard Docteur-Petitjean 21000 DIJON

Model paper version 1.3 du Vendredi 17 janvier 2020

Résumé

Cet article présente la construction d'une base de données parcellaires et analyse les relations entre les caractéristiques biophysiques (topographie, géologie, pédologie) des parcelles cadastrales et leurs appellations d'origine contrôlée (AOC) viticoles. Élaborées sur le périmètre des 31 communes de Côte-d'Or qui forment la côte de Beaune et la côte de Nuits, les données permettent d'estimer statistiquement les déterminants naturels et humains de la position des parcelles dans la hiérarchie des AOC. Les prédictions issues de la modélisation permettent de préciser la hiérarchie des AOC en positionnant chaque parcelle sur une échelle continue de qualité, entre 0 et 100, déterminée par les seuls attributs biophysiques. Les données, modèles et prédictions sont disponibles sous licence GNU GPL V3 sur le serveur <https://data.inra.fr/> et sont consultables par une application hébergée à l'url <https://cesaer-datas.inra.fr/geoind/>. Les codes R sont également fournis pour reproduire l'intégralité des résultats de cette recherche.

Mots-clés: Économie viti-vinicole ; histoire des appellations d'origine contrôlée ; signes de qualité ; recherche reproductible ; système d'information géographique ; modélisation économétrique.

Table des Matières

1	Introduction	2		3.2	Effets des variables biophysiques	14
				3.3	Effets communaux	15
2	Présentation des données	4		3.4	Prédiction de la qualité continue	17
2.1	Les AOC actuelles	4		3.5	Agrégation par lieux-dits	17
2.2	Enrichissement des AOC historiques	5		4	Application <i>Shiny</i>	19
2.3	Enrichissement des lieux-dits	7		4.1	Carte dynamique	19
2.4	Enrichissement de la topographie	7		4.2	Lancer l'application localement	20
2.5	Enrichissement de la géologie	8		4.3	Exemple d'utilisation	20
2.6	Enrichissement de la pédologie	9		5	Conclusion	21
2.7	Statistiques descriptives	10		5.1	Remerciements	22
3	Modèle statistique	12		A	Annexes	25
3.1	Estimation du modèle	12				

1 Introduction

Les appellations d'origine contrôlée (AOC) viticoles de Bourgogne résultent de processus historiques complexes au cours desquels les parcelles ont été classifiées selon leurs caractéristiques biophysiques et selon les rapports économiques, politiques et sociaux en vigueur (Garcia, 2011; Wolikow and Jacquet, 2011). Ainsi, la classification actuelle est issue de plusieurs siècles de culture de la vigne, de production de vin et de négociation sur les dénominations. Ces trois ensembles de pratiques forment les usages loyaux et constants selon la doctrine de l'institut national de l'origine et de la qualité (INAO) pour définir, reconnaître et gérer les AOC (Capus, 1947; Humbert, 2011). La complexité des informations contenues dans la référence au lieu de production et la complexité de leurs évolutions dans le temps sont à la fois des forces et des faiblesses pour les AOC. Elles permettent de simplifier les nombreux déterminants biophysiques de la qualité des vins au prix d'une perte d'information et d'une certaine opacité pour les acteurs des marchés du vin.

La référence au lieu de production permet de donner une certaine indication composite sur la qualité des vins lors des échanges. Une abondante littérature économique (synthétisée par Coestier and Marette, 2004) montre qu'en diminuant l'asymétrie d'information entre les vendeurs et les acheteurs, les AOC peuvent limiter cette défaillance de marché préjudiciable aux deux parties prenantes. La question de la nature de l'information contenue dans les AOC se pose alors, en particulier la distinction de la part relative aux processus naturels de la part relative aux processus humains (Dion, 1952). Cette séparation est déterminante pour identifier les facteurs naturels, immobiles et non-reproductibles, qui justifient réellement la référence au lieu de production (Ay, 2019). Nous présentons ici la constitution de données et l'estimation de modèles qui permettent d'opérer statistiquement cette distinction. Nous montrons la présence d'une hiérarchie implicite entre les communes de la zone, qui biaise l'information transmise par les AOC sur les caractéristiques biophysiques des parcelles. Nous utilisons les prédictions issues de cette modélisation pour classer l'ensemble des parcelles sur une échelle continue de qualité (entre 0 et 100) tout en corrigeant les effets communaux issus de l'histoire. Nous présentons cette information par le biais d'une application cartographique.

La Section 2 présente la construction de la base de données géographique disponible sous licence GNU GPL V3 sur le serveur <https://data.inra.fr/>. La parcelle cadastrale est l'unité élémentaire d'observation qui permet l'appariement des variables sur les AOC actuelles (produites par l'INAO), sur les AOC de 1936 (produites par la MSH de Dijon), sur les lieux-dits par le Plan Cadastral Informatisé (produit par la DGFIP), sur l'altimétrie par le RGE ALTI® à 5 mètres (produit par l'IGN), sur l'occupation du sol (produite par Hilal et al., 2018), sur la géologie par Charm-50 (produit par le BRGM) et sur la pédologie par le Référentiel Pédologique de Bourgogne (produit par le Gis Sol). Les données ainsi constituées concernent l'ensemble des parcelles des 31 communes incluses dans la côte de Beaune et la côte de Nuits, soient l'ensemble des vignobles du département de la Côte-d'Or à l'exception des hautes côtes et du Châtillonnais (Figure 1). Cette base de données permet de relier finement les AOC aux caractéristiques biophysiques des parcelles dont les vins sont issus, et possède ainsi une utilisation plus large que celle présentée ici.

La Section 3 présente l'estimation des modèles statistiques dont les spécifications sont décrites plus extensivement dans un article associé (Ay, 2019). Le principe est d'utiliser la structure hiérarchique des AOC (Coteaux bourguignons < Bourgogne régional < Villages < Premiers crus < Grands crus) pour les relier aux caractéristiques biophysiques des parcelles par une unique variable latente de qualité des vignes. Nous montrons que cette variable continue non observable peut être estimée de manière flexible à partir des AOC actuelles. Nous utilisons pour cela des modèles ordonnés additifs généralisés (OGAM pour *ordered generalized additive model*, Wood et al., 2016) qui prédisent correctement près de 90 % des niveaux actuels des AOC. Ils permettent également d'estimer semi-paramétriquement l'effet de chaque variable biophysique ainsi que les effets communaux issus de l'histoire. Ces estimations permettent de corriger les effets communaux pour prédire la qualité des vignes uniquement à partir des caractéristiques biophysiques.

La Section 4 présente le codage et l'utilisation de l'application *Shiny* (Chang et al., 2019) qui permet de consulter la classification continue des parcelles de vignes, telle que prédite par la modélisation statistique. L'utilisateur peut ainsi saisir les informations typiquement disponibles sur les étiquettes des bouteilles de vin de Bourgogne (le niveau de l'AOC dans la hiérarchie, la commune de production, et le lieu-dit de la parcelle) pour identifier géographiquement l'ensemble des parcelles concernées et leur niveau de qualité prédite (avec ou sans correction des effets communaux). Cette information permet une évaluation plus précise de la qualité des vins que la hiérarchie actuelle des AOC en 5 niveaux, sans introduire de facteurs subjectifs exogènes. Cela permet en outre d'améliorer l'information disponible pour les consommateurs à partir d'informations déjà présentes sur les étiquettes. Chaque vin identifié peut alors être comparé aux autres vins du même niveau hiérarchique ou aux vins d'autres niveaux hiérarchiques afin d'évaluer sa qualité relative.

Les codes R (R Core Team, 2019) fournis permettent de reproduire l'ensemble des tables et des figures à partir des données disponibles sur le serveur <https://data.inra.fr/>. La version du logiciel et des packages utilisés lors de la rédaction de cet article sont reportés en Annexe 1. L'intégralité du code relatif à l'application *Shiny* est également reportée en Annexes 5 et 6. Elle peut ainsi être lancée localement, voire modifiée par les utilisateurs. La version la plus récente des codes est accessible sur le répertoire <https://github.com/jsay/geoInd>.

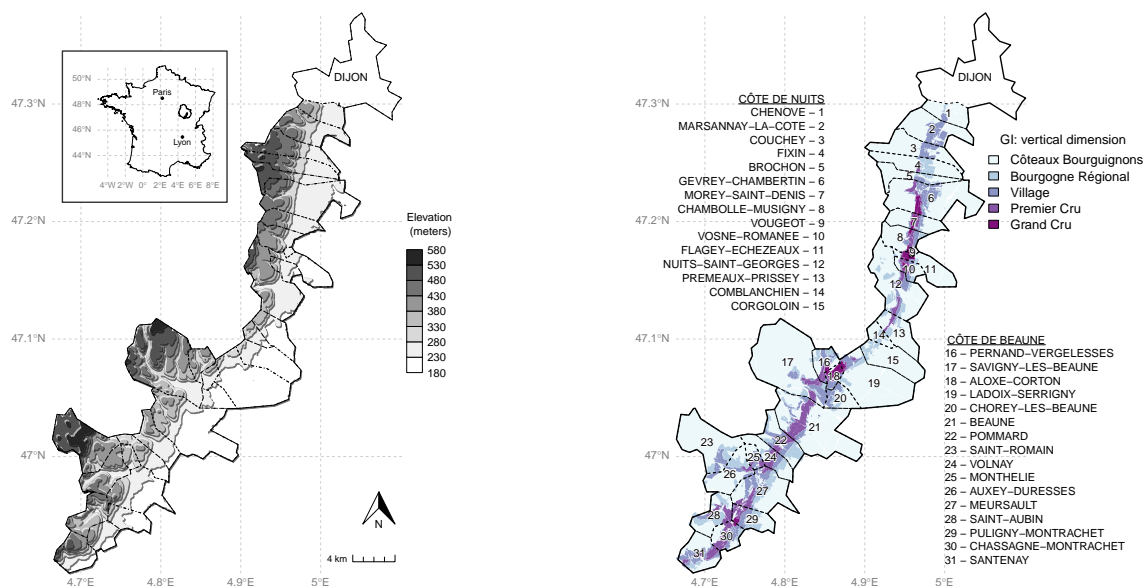


Figure 1: La zone de la Côte-d'Or étudiée, sa topographie et ses appellations d'origine contrôlées

Sources : INRA / INAO / MSH / DGFIP / IGN / BRGM / Gis Sol.

Lecture : La carte de gauche représente l'altitude des parcelles, catégorisée en 8 classes de 50 mètres d'amplitude. Située la ville de Dijon au Nord de la zone, elle permet de faire apparaître la topographie de la Côte viticole majoritairement orientée à l'Est mais dont la présence de vallées sèches (appelées combes) produit des variations localisées. La carte de droite présente les 31 communes de la zone, qui constituent la dimension horizontale des AOC viticoles (il n'y a pas de hiérarchie explicite entre les communes). La dimension verticale est représentée par la hiérarchie en 5 niveaux reportée sur cette même carte. Ces deux cartes sont reproductibles à partir des données présentées dans cet article, les codes utilisés sont consultables à <https://github.com/jsay/geoInd>.

2 Présentation des données

L'unité géographique de base pour construire les données est la parcelle cadastrale des 31 communes du périmètre d'étude présenté dans la [Figure 1](#). La géométrie des parcelles est issue de la BD parcellaire de l'IGN dans sa version 2014 pour la Côte-d'Or (téléchargement le 09/10/2015). Nous l'avons enrichie de variables décrivant la géométrie des parcelles avec l'ajout de la surface, du périmètre et de la distance maximale entre deux sommets pour chaque polygone cadastral ([Conrad et al., 2015](#)).

La base de données qui résulte de toutes les étapes présentées ci-dessous est directement disponible sur le serveur <https://data.inra.fr/>. Le code R ci-dessous permet de charger directement la version la plus récente des données à l'aide du package `dataverse` ([Leeper, 2017](#)).

```
library(dataverse) ; library(sp)
Sys.setenv("DATAVERSE_SERVER" = "data.inra.fr")
GeoRasRaw <- get_file("GeoRas.Rda", "https://doi.org/10.15454/ZZWQMN")
writeBin(GeoRasRaw, "GeoRas.Rda")
load("GeoRas.Rda") ; dim(Geo.Ras)
```

```
[1] 110350      67
```

L'objet `Geo.Ras` est un objet de la classe `SpatialPolygonsDataFrame`, définie par le package `sp` ([Bivand et al., 2013](#)) préalablement chargé. Nous constatons que la version actuelle de la base compte 110 350 parcelles et 67 variables. Le dictionnaire des variables est reporté dans la [Table 2](#) en Annexe 3.

2.1 Les AOC actuelles

Les polygones cadastraux ont ensuite été appariés par jointure géographique aux délimitations parcellaires des AOC viticoles produites par l'INAO, disponibles à l'adresse <https://www.data.gouv.fr/fr/datasets/delimitation-parcellaire-des-aoc-viticoles-de-linao> sous licence ouverte (téléchargement le 21/08/18). Les variables qui décrivent la géométrie des parcelles cadastrales et les AOC sont présentes dans les colonnes 2 à 16 des données produites, qui ont été chargées ci-dessus.

```
names(Geo.Ras)[ 2: 16]
```

```
[1] "IDU"      "CODECOM" "AREA"     "PERIM"    "MAXDIST" "PAOC"
[7] "BGOR"     "BOUR"     "VILL"     "COMM"     "PCRU"     "GCRU"
[13] "AOC"      "AOCtp"    "AOC1b"
```

L'information brute issue de la superposition de la couche cadastrale avec la couche INAO sur les AOC actuelles est reportée dans les variables `PAOC` à `GCRU`, avec la valeur 1 lorsque que le niveau AOC est revendicable sur la parcelle correspondante et 0 sinon (voir [Table 2](#)). Les 49 718 parcelles cadastrales hors du périmètre des AOC ont des valeurs manquantes pour chacune de ces 7 variables.

Les trois variables suivantes (`AOC`, `AOCtp` et `AOC1b`) contiennent les mêmes informations INAO, mais recodées de façon plus opérationnelle pour l'analyse statistique. Selon le principe des replis, issu de la doctrine de l'INAO, les parcelles d'un niveau hiérarchique supérieur peuvent toujours être revendiquées dans

un niveau inférieur. La superposition des couches de l'INAO conduit donc à la présence de plusieurs niveaux d'AOC sur une même parcelle, ce qui entre en contradiction avec une autre doctrine de l'INAO, à savoir qu'il est interdit de revendiquer des AOC différentes pour un même produit. Dans les faits, les producteurs revendiquent très souvent l'AOC maximale à laquelle ils peuvent prétendre. La variable AOC que nous avons créée représente donc cette valeur pour chacune des parcelles: elle est codée 0 pour les parcelles hors AOC, 1 pour les Coteaux bourguignons, 2 pour les Bourgognes régionaux et jusqu'à 5 pour les Grands crus. De plus, les informations présentes sur les étiquettes des vins peuvent correspondre soit à des AOC soit à des dénominations géographiques complémentaires (le plus souvent sans que cette distinction soit claire pour le consommateur). Les modalités prises par la variable AOC1b sont une combinaison du nom des appellations et des dénominations. La variable AOCtp code cette combinaison. Les modalités correspondent souvent au nom de l'AOC maximale revendicable. Pour les Bourgognes régionaux, nous n'utilisons pas la dénomination "Bourgogne Côte d'Or", créée en 2015, plus haute dans la hiérarchie que l'AOC Bourgogne mais peu connue du fait de sa faible antériorité. D'ailleurs, l'analyse se limite à la Côte d'Or où les délimitations "Bourgogne Côte d'Or" et "Bourgognes régionaux" sont très proches. C'est principalement pour les Premiers Crus que la variable AOC1b contient les dénominations géographiques, car l'AOC ne fait référence qu'au niveau village alors que les dénominations permettent d'identifier plus précisément les lieux-dits des parcelles.

La distribution de l'ensemble des parcelles de la zone entre la dimension horizontale (entre les communes) et verticale des AOC (entre les niveaux hiérarchiques) est présentée dans la [Figure 2](#) suivante, dont le code est reporté ci-dessous. Pour la clarté du code, les objets et fonctions de configuration graphique `my.lab`, `my.pal`, `my.par`, `my.key` et `my.pan` sont définis dans l'Annexe 2. Ces objets doivent être chargés en préalable pour le fonctionnement du code suivant en local, en plus des packages `lattice` et `RColorBrewer`.

```
tmp <- unique(Geo.Ras$LIBCOM[order(Geo.Ras$YCHF, decreasing= TRUE)])
Geo.Ras$LIBCOM <- factor(Geo.Ras$LIBCOM, levels= tmp)
Geo.Fig <- subset(Geo.Ras, !is.na(AOC1b))
fig.dat <- aggregate(model.matrix(~ 0+ factor(Geo.Fig$AOC))*
  Geo.Fig$AREA/ 1000, by= list(Geo.Fig$LIBCOM), sum)
names(fig.dat) <- c("LIBCOM", "BGOR", "BOUR", "VILL", "PCRU", "GCRU")
fig.dat$LIBCOM <- factor(fig.dat$LIBCOM, lev= rev(levels(fig.dat$LIBCOM)))
fig.crd <- t(apply(fig.dat[, -1], 1, function(t) cumsum(t)- t/2))
fig.lab <- round(t(apply(fig.dat[, -1], 1, function(t) t/ sum(t)))* 100)
barchart(LIBCOM~ BGOR+ BOUR+ VILL+ PCRU+ GCRU, xlim= c(-100, 10500),
  xlab="Surfaces sous appellation d'origine contrôlée (hectare)",
  data= fig.dat, horiz= T, stack= T, col= my.pal, border= "black",
  par.settings= my.par, auto.key= my.key, panel= my.pan)
```

2.2 Enrichissement des AOC historiques

Des variables sur les classifications historiques des parcelles, obtenues auprès de la Maison des Sciences de l'Homme de Dijon sous formes de cartes numérisées, sont également appariées. Alors que l'INAO a été créé en 1936, la première délimitation officielle des AOC s'est opérée entre 1936 et 1940 sur le périmètre d'étude. Elle fut basée sur deux classements antérieurs non officiels : celui de Jules Laval de 1855 ([Laval, 1855](#)) et celui du Comité d'Agriculture et de Viticulture de l'Arrondissement de Beaune de 1860 ([Wolikow and Jacquet, 2011](#)). Nous compilons ces différentes classifications pour obtenir une hiérarchie des parcelles en 3 niveaux: Régional < Village < Grand Cru, que nous considérons comme les niveaux d'AOC en 1936. Cette classification historique est moins détaillée que l'actuelle (3 niveaux au lieu de 5) car l'AOC Coteaux bourguignons n'existait pas encore (les niveaux ordinaires et grands ordinaires qui la précédaient n'étaient pas délimités) tout comme les Premiers Crus seulement instaurés par décret en 1943 ([Lucand, 2017](#)).

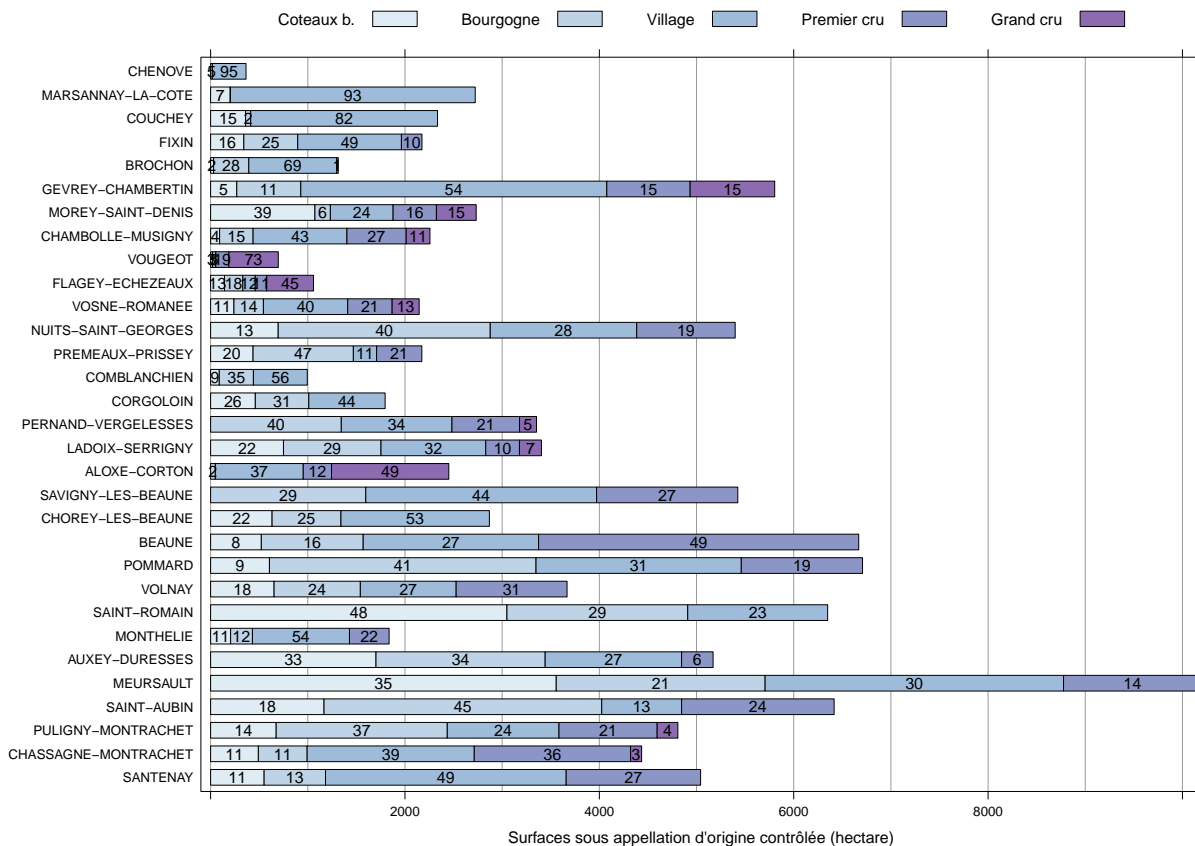


Figure 2: Croisement entre les communes (dimension horizontale) et les niveaux (dimension verticale).

Sources : INRA / INAO / MSH / DGFIP / IGN / BRGM / GisSol.

Lecture : Pour chacune des 31 communes reportées en ordonnées, le graphique présente les surfaces de chacun des 5 niveaux hiérarchiques en abscisses. Les pourcentages intra-communaux sont reportés à l'intérieur du graphique. Le niveau d'AOC de chaque parcelle est sélectionné par la méthode du maximum revendicable telle que codée dans la variable AOC de l'objet Geo.Ras.

L'appariement s'effectue par le centroïde des parcelles car la géométrie cadastrale actuelle ne se superpose pas parfaitement avec les polygones de la carte historique du fait de la numérisation et du changement du cadastre. La faible taille des parcelles (0.2 ha en moyenne) permet de faire confiance en cette procédure d'appariement, confirmée par de nombreuses vérifications manuelles. La base parcellaire est ainsi enrichie des 2 variables AOC1936lab et AOC361vl présentées dans la Table 2 en Annexe 3.

```
names(Geo.Ras)[ 56: 57]
table(Geo.Ras$AOC361vl, Geo.Ras$AOC)
```

```
[1] "AOC361lab" "AOC361vl"
```

	0	1	2	3	4	5
0	47056	9832	13337	10554	593	44
3	2586	15	565	15529	8226	266
5	24	0	1	14	3	1635

Ces deux nouvelles variables correspondent aux colonnes 56 et 57 de la base Geo.Ras. Le croisement de la hiérarchie des AOC de 1936 avec la hiérarchie des AOC actuelles montre que les surfaces sous AOC étaient sensiblement plus réduites à l'époque. Elles représentaient 27 % des parcelles de la zone au lieu de 55 % actuellement. Près de 165 000 parcelles hors AOC en 1936 le sont actuellement (tous niveaux confondus, soit la somme de la première ligne du tableau sans la première cellule) alors que seulement 2 610 parcelles sont dans le cas inverse (somme de la première colonne, sans la première cellule). La majorité des parcelles classées en niveaux Village et Grand cru actuellement l'étaient déjà en 1936, les Premiers Crus actuels étaient principalement en Village, et les Coteaux bourguignons et les Bourgogne niveau régional étaient hors AOC.

2.3 Enrichissement des lieux-dits

Les lieux-dits (géométrie et toponymie) sont disponibles dans le Plan Cadastral Informatisé (DGFIP) téléchargeable à l'adresse <https://cadastre.data.gouv.fr/datasets/plan-cadastral-informatise>. Le téléchargement pour la Côte-d'Or (21) date du 13/01/2019. Ces données, en licence ouverte Etalab, nous permettent de renseigner les lieux-dits des parcelles viticoles et certaines variables communales agrégées. Une attention particulière est portée sur les lieux-dits dont les intitulés doivent être croisés avec le nom des communes pour être uniques (un même lieu-dit toponymique peut être présent sur plusieurs communes). La géométrie des lieux-dits et des parcelles de l'IGN se superposant parfaitement, l'appariement avec les données parcellaires est réalisé par jointure géographique des polygones.

```
Geo.Ras$DISTCHF <- sqrt(((Geo.Ras$XL93- Geo.Ras$XCHF* 100))^2
+ ((Geo.Ras$YL93- Geo.Ras$YCHF* 100))^2)
names(Geo.Ras)[ 58: 66] ; summary(Geo.Ras$DISTCHF)
```

[1]	"LIEUDIT"	"CLDVIN"	"LIBCOM"	"XCHF"	"YCHF"	"ALTCOM"
[7]	"SUPCOM"	"POPCOM"	"CODECANT"			
	Min.	1st Qu.	Median	Mean	3rd Qu.	Max.
	0	595	1049	1230	1679	6314
						NA's
						6425

Les variables issues de cette étape sont stockées dans les colonnes 58 à 66 de l'objet Geo.Ras. Comme reporté dans le code, nous pouvons calculer la distance euclidienne entre le centroïde de chaque parcelle et le chef-lieu (généralement la mairie) de la commune d'appartenance. La distance moyenne de 1,2 km est cohérente avec la taille des communes du périmètre d'étude (environ 2,5 km²). Notons que 6 426 parcelles de la BD parcellaire sont absentes du Plan Cadastral Informatisé. Elles correspondent à environ 4 % de la base initiale et n'ont donc pas été appariées (des valeurs omises sont reportées pour ces variables associées aux lieux-dits). Ces parcelles sont pour la plupart hors AOC et se concentrent sur les communes les plus urbanisées, telles que Chenôve, Marsannay-la-Côte et Beaune. Ces valeurs manquantes semblent donc correspondre à des espaces bâtis qui ne peuvent pas être classés en AOC. Des vérifications manuelles n'ont pas suffi pour statuer définitivement sur ce point, qui n'est donc pas univoque. Ces valeurs manquantes seront exclues de l'analyse statistique, mais elles ne sont pas décisives pour le résultat des estimations.

2.4 Enrichissement de la topographie

Les informations de la couche cadastrale sont enrichies de variables topographiques issues d'un modèle numérique de terrain (MNT RGE ALTI® 5 m, sous licence IGN "Recherche") et d'une couche d'occupation du sol (MOS) provenant du modèle développé par Hilal et al. (2018) et disponible en téléchargement sur

<https://data.inra.fr/>, voir Hilal (2020). Le MOS est construit à partir de la BD TOPO®, du registre parcellaire graphique (RPG, Agence de services et de paiement) et de Corine Land Cover (Agence européenne de l'environnement). Ces deux couches raster sont à une résolution de 5 m. Les informations altimétriques du MNT permettent de produire 3 couches raster supplémentaires, toujours à 5 m de résolution : la pente, l'exposition et les radiations solaires. Ces attributs sont calculés en utilisant le logiciel ArcGis (Rich and Fu, 2000). Les 5 couches raster ainsi constituées (altitude, pente, exposition, radiation solaire et occupation du sol) sont converties en fichiers au format XYZ, avec X et Y les coordonnées Lambert 93 du centre de chaque pixel et Z la variable d'intérêt de chacune des couches. Les fichiers sont regroupés dans une même table XYZ contenant un seul couple XY et les 5 attributs Z issus des couches raster respectives. Cette table est ensuite appariée avec une autre table XYZ produite après rastérisation à 5 m des parcelles cadastrales en vue de récupérer le couple XY du centroïde de chaque pixel et Z l'identifiant PAR2RAS qui reprend l'identifiant cadastral (IDU) de la parcelle dans laquelle se situe le pixel. L'identifiant PAR2RAS servira à l'appariement des parcelles avec les 5 variables topographiques. Le résultat est une base contenant plus de 14 millions de lignes, une pour chaque pixel de 5 m. Les informations ainsi disponibles permettent de calculer à l'échelle des parcelles cadastrales des fréquences décrivant l'occupation non agricole du sol (urbain, forêt, eau) et des valeurs moyennes pour les variables dérivées de l'altimétrie. Les résultats sont reportés dans les colonnes 17 à 26 de l'objet Geo.Ras. D'autres méthodes d'agrégation des variables topographiques ont été testées et n'apportent pas de différences notables avec les variables calculées à partir des moyennes.

```
names(Geo.Ras)[ c(1, 17: 26)]
Geo.Ras$RAYAT <- (Geo.Ras$SOLAR- mean(Geo.Ras$SOLAR, na.rm= TRUE))/
sd(Geo.Ras$SOLAR, na.rm= TRUE)
Geo.Ras$EXPO <- cut(Geo.Ras$ASPECT,
breaks= c(-2, 45, 90, 135, 180, 225, 270, 315, 360))
```

```
[1] "PAR2RAS" "XL93"      "YL93"      "NOMOS"     "URBAN"     "FOREST"
[7] "WATER"   "DEM"       "SLOPE"     "ASPECT"    "SOLAR"
```

La variable SOLAR (sur les rayonnements solaires) est centrée-réduite, pour éviter les problèmes d'unité de mesure dans l'analyse statistique. Toujours pour des raisons de spécification statistique, la variable ASPECT (exposition moyenne des parcelles) est discrétisée en 8 classes d'azimuts de 45 degrés d'amplitude. Lors de cette opération, 2 096 parcelles n'ont pas pu être appariées car elles ne contiennent aucun centroïde de pixel suite à la rastérisation du parcellaire. Ces parcelles de très petites tailles avec des formes géométriques particulières, probablement des "erreurs" du cadastre, seront enlevées au moment de l'analyse statistique. Elle couvrent une surface cumulée de 2.7 ha, soit moins de 0.01 % de la surface totale étudiée.

2.5 Enrichissement de la géologie

Les données géologiques sont extraites de la BD harmonisée Charm-50 produite par le BRGM à l'échelle du 1/50 000. Cette base est disponible sur le site <http://infoterre.brgm.fr> sous licence Ouverte. L'extraction contient les formations géologiques, nommée GEO050K_HARM_021_S_FGEOL_CGH_2154, téléchargées le 25/04/2019 pour le département de la Côte-d'Or. L'appariement est réalisé par intersection des centroïdes des parcelles avec les polygones géologiques. La faible taille des parcelles permet de s'assurer de la validité de cette procédure, vérifiée manuellement par ailleurs. Le dictionnaire associé aux 16 variables sur la géologie est disponible dans la Table 2 en Annexe 3. La description des variables est peu précise actuellement car les données du BRGM sont disponibles depuis peu et ne possèdent pas encore, à notre connaissance, de dictionnaire exploitable. Ce manque de précision n'est pas limitant pour l'analyse statistique postérieure car

ces variables géologiques seront utilisées sous forme d'indicateurs qui ne nécessitent pas de spécification explicite. Cela peut néanmoins être différent pour d'autres utilisations de la base de données. La variable NOTATION, présente dans la couche sur les formations géologiques, est une abréviation faite de chiffres et de lettres qui reprend la stratigraphie harmonisée (âge des formations représentées et nature des roches).

```
names(Geo.Ras)[27: 42]
Geo.Ras$NOTATION <- factor(Geo.Ras$NOTATION)
tmp <- table(Geo.Ras$NOTATION)< 1000
table(Geo.Ras$GEOL <- factor(
  ifelse(Geo.Ras$NOTATION %in% names(tmp[ tmp]), "0AREF",
    as.character(Geo.Ras$NOTATION))))
```

```
[1] "CODE"      "NOTATION"  "DESCR"     "TYPEGEOL"  "APLOCALE"
[6] "TYPEAP"    "GEOLNAT"   "ISOPIQUE"  "AGEDEB"    "ERADEB"
[11] "SYSDEB"    "LITHOLOGIE" "DURETE"    "ENVIRONMT"  "GEOCHIMIE"
[16] "LITHOCOM"
```


0AREF	C	E	Fu	Fx	Fy	Fz	GP	j1-2	j3	j3a
5487	29040	2683	1653	9321	10006	7951	11181	1359	1848	3785
	j3b	j4a	j5a	j5b	j6a	p-IV				
2887	2934	5201	5301	4827	4855					

Dans le périmètre d'étude (qui est délimité par les frontières communales et non le vignoble), nous recensons 31 formations géologiques homogènes, dont la distribution spatiale et les intitulés sont présentés dans la **Figure 5** en Annexe 4. Les parcelles non appariées, produisant des valeurs manquantes, sont peu nombreuses (entre 31 et 862 parcelles selon les variables), elles seront enlevées au moment de l'analyse statistique sans conséquence sur les résultats. Pour diminuer la multi-colinéarité lors de l'utilisation statistique de ces notations géologiques, utilisées comme indicateurs; et nous assurer d'estimations précises, les notations qui comptent moins de 1 000 parcelles sont regroupées dans une modalité de référence codée 0AREF. Il reste ainsi les 17 notations présentées ci-dessus qui pourront être utilisées dans la modélisation.

2.6 Enrichissement de la pédologie

Les données pédologiques utilisées sont extraites du Référentiel Pédologique de Bourgogne : "Régions naturelles, pédopaysage et sols de Côte-d'Or à l'échelle 1/250 000" (étude 25021 dans le référentiel Gis Sol). Ces données sont compatibles avec la référence nationale DoneSol et correspondent à la meilleure information pédologique actuellement disponible systématiquement sur le périmètre d'étude. La localisation des types de sol et l'appariement avec le parcellaire cadastral s'opèrent par le biais des 194 unités cartographiques de sols (UCS) qui composent le périmètre d'étude. Les UCS sont des polygones construits pour être homogènes en termes de pédo-paysages (topographie, climat, géologie). Elles sont typiquement utilisées pour cartographier les caractéristiques des sols, mais peuvent néanmoins contenir différents types de sols. Ces derniers, regroupés en unités typologiques, ne peuvent pas être localisés plus précisément que les unités cartographiques. Cette imprécision dans la localisation des données est une limite importante pour leur usage statistique à l'échelle parcellaire (Ay, 2011). En l'absence de données spatialement plus précises, les données parcellaires du cadastre sont enrichies du libellé de l'UCS et des 11 variables correspondantes à l'unité typologique de sol dominante, c'est-à-dire celle qui est la plus étendue au sein de chaque UCS. Ce choix à première vue arbitraire ne change pas les résultats obtenus.

```
names(Geo.Ras)[43: 55]
Geo.Ras$NOUC <- factor(Geo.Ras$NOUC)
tmp <- table(Geo.Ras$NOUC)< 1000
table(Geo.Ras$PEDO <- factor(
  ifelse(Geo.Ras$NOUC %in% names(tmp[tmp]), "0AREF",
    as.character(Geo.Ras$NOUC))))
```

```
[1] "NOUC" "SURFUC" "TARG" "TSAB" "TLIM" "TEXTAG" "EPAIS"
[8] "TEG" "TMO" "RUE" "RUD" "OCCUP" "DESCRp"

0AREF 10 13 14 26 27 28 29 30 32 34
3265 2074 3770 23472 4750 1348 11641 7636 6983 3072 2469
35 36 38 5 61 69 7 8
8356 1602 2198 4767 1605 2116 1445 3136
```

Comme pour les variables sur la géologie, les variables pédologiques seront intégrées dans les modèles statistiques par des indicatrices, qui correspondent ici aux UCS. Le détail des 11 variables pédologiques est maintenu dans les données constituées pour ne pas limiter les autres usages qui peuvent en être faits. Les libellés des unités cartographiques, reportés dans la variable DESC Rp, ont été saisis manuellement à partir du site <https://bourgogne.websol.fr/carto>. Les valeurs manquantes, associées aux parcelles non couvertes par la couche pédologique, sont assez nombreuses : 14 645 parcelles cadastrales, qui couvrent environ 4,25 % de la surface du périmètre étudié. Les parcelles non couvertes sont, en revanche, peu désignées en AOC car moins de 1 % des AOC ont des variables pédologiques manquantes. Les valeurs manquantes sont donc dans de rares cas des parcelles de vignes et ce sont principalement des parcelles bâties au coeur des villages. Une explication intuitive de ces valeurs manquantes est l'absence de données pédologiques sur les sols artificialisés, cela étant corroborée par une vérification manuelle. La faible précision spatiale des données pédologiques peut s'illustrer par comparaison avec les variables du MOS sur l'artificialisation. Les UCS avec les variables pédologiques manquantes regroupent des occupations du sol très différentes. Parmi les 33 modalités présentes initialement dans les UCS (Figure 6 en Annexe 4), seules 19 sont retenues car elles concernent au moins 1 000 parcelles. Les autres sont regroupées dans une modalité de référence 0AREF.

2.7 Statistiques descriptives

Les données issues des 7 sources présentées ci-dessus sont donc compilées dans une base unique. Le code suivant effectue les derniers traitements, à savoir la conversion du système de projection du Lambert93 vers le WGS84 utilisé pour l'application *Shiny*, la suppression des valeurs manquantes sur certaines variables, le codage des indicatrices (pour les AOC et l'exposition), et la normalisation des unités de mesure pour les variables continues. L'objet `tb.lab` qui contient l'intitulé des variables, nécessaire dans le code ci-dessous, est défini en Annexe 2. Le package `stargazer` doit être chargé en préalable pour construire la Table 1.

```
GR84 <- spTransform(Geo.Ras, CRS("+proj=longlat +ellps=WGS84"))
dd <- coordinates(GR84) ; Geo.Ras$X= dd[, 1] ; Geo.Ras$Y= dd[, 2]
Reg.Ras <- subset(Geo.Ras, !is.na(AOC1b) & !is.na(DEM) & !is.na(DESCR)
  & !is.na(RUD) & !is.na(AOC361ab) & !is.na(REGION))
Stat.Ras <- data.frame(Reg.Ras@data, model.matrix(~0+ factor(Reg.Ras$AOC)),
  model.matrix(~ 0+ factor(Reg.Ras$EXPO)))
names(Stat.Ras)[75: 79] <- paste0("AOC", 1: 5)
```

```

names(Stat.Ras)[80: 87] <- paste0("EXPO", 1: 8)
Stat.Ras$AREA <- Reg.Ras$AREA/ 1000 ; Stat.Ras$DEM <- Reg.Ras$DEM/ 1000
Stat.Ras$SOLAR <- Reg.Ras$SOLAR/ 1000000
stargazer(Stat.Ras[, names(tb.lab)], covariate.labels=tb.lab, float= F,
font.size= "small", column.sep.width= "0pt", digit.separate= c(0, 3))

```

Table 1: **Statistiques descriptives des variables utilisées.**

Statistic	N	Mean	St. Dev.	Min	Pctl(25)	Pctl(75)	Max
Surface [1000 m ²]	59113	1.908	3.399	0.000	0.517	2.178	177.200
Altitude [1000 m]	59113	0.286	0.056	0.210	0.241	0.319	0.505
Pente [degrés]	59113	5.772	5.478	0.000	1.556	8.747	36.970
Radiation solaire [millions J]	59113	1.060	0.049	0.581	1.048	1.076	1.230
Longitude [degrés]	59113	4.837	0.104	4.665	4.740	4.955	5.003
Latitude [degrés]	59113	47.060	0.110	46.900	46.980	47.170	47.300
Niveau AOC Coteaux	59113	0.164	0.370	0	0	0	1
Niveau AOC Régional	59113	0.229	0.420	0	0	0	1
Niveau AOC Village	59113	0.428	0.495	0	0	1	1
Niveau AOC Premier Cru	59113	0.147	0.354	0	0	0	1
Niveau AOC Grand Cru	59113	0.032	0.177	0	0	0	1
Exposition [0 – 45]	59113	0.046	0.210	0	0	0	1
Exposition [45 – 90]	59113	0.186	0.389	0	0	0	1
Exposition [90 – 135]	59113	0.362	0.481	0	0	1	1
Exposition [135 – 180]	59113	0.212	0.409	0	0	0	1
Exposition [180 – 225]	59113	0.100	0.300	0	0	0	1
Exposition [225 – 270]	59113	0.044	0.206	0	0	0	1
Exposition [270 – 315]	59113	0.030	0.170	0	0	0	1
Exposition [315 – 360]	59113	0.021	0.142	0	0	0	1

Notes: L'échantillon est composé de 59 113 parcelles (pas nécessairement en vignes) sous AOC dans la zone des 31 communes considérées. Le tableau reporte l'effectif, la moyenne, l'écart-type, le minimum, les quartiles et le maximum pour les principales variables biophysiques issues du processus d'appariement présenté dans le texte.

nous disposons donc d'une base de données qui contient 59 113 observations utilisables pour estimer le modèle statistique. Ce nombre provient de plusieurs sélections présentées dans le code ci-dessus : le principal critère limite les observations aux parcelles ayant au moins une AOC. Cette opération exclue 49 717 pour n'en conserver que 60 632. Le second critère enlève les observations avec des valeurs manquantes pour au moins une des variables qui ont été enrichies. Ce critère écarte 1 519 parcelles. Les parcelles ont des surfaces faibles (0,2 ha de moyenne), des altitudes comprises entre 200 et 500 m (286 m de moyenne), des pentes entre 0 et 37 degrés (5,75 degrés de moyenne) et des radiations solaires comprises entre 581 000 et 1,2 millions de Joules (1 millions de Joules en moyenne). Nous observons également que le niveau village de la hiérarchie des AOC regroupe 42 % des parcelles, les niveaux régionaux et coteaux bourguignons respectivement 23 % et 16,5 %, alors que les niveaux premier et grand cru respectivement 15 % et 3 %. Les vignobles sont globalement orientés à l'Est, avec 55 % des observations qui ont une orientation comprise entre 45 et 135 degrés.

3 Modèle statistique

Le modèle statistique étudie la relation entre le classement AOC des parcelles, leurs caractéristiques biophysiques (topographie, géologie, pédologie) et leur commune d'appartenance. Cette modélisation fournit des prédictions qui permettent de préciser la hiérarchie sous-jacente aux AOC en positionnant chaque parcelle sur une échelle de qualité continue entre 0 et 100 après normalisation.

3.1 Estimation du modèle

Le modèle utilisé et le processus de spécification sont tirés d'un article associé (Ay, 2019). Il s'agit d'estimer un modèle ordonné additivement semi-paramétrique (OGAM) qui prend en compte la structure hiérarchique des AOC de la zone, notée $y \in \{1, 2, 3, 4, 5\}$ par ordre croissant. Les désignations des AOC sont supposées suivre une règle de décision basée sur une variable latente non observable qui franchit des seuils différents selon la commune d'appartenance. Notons X_i le vecteur des caractéristiques biophysiques de la parcelle de vigne i (avec $i = 1, \dots, N$) et C_i le vecteur de dimension 31 qui a pour élément générique c_{ih} égal à 1 si la parcelle i se situe dans la commune h et 0 sinon. L'hypothèse d'une distribution logistique de la partie aléatoire de la variable latente produit un modèle de logit ordonné classique (Agresti and Kateri, 2017) :

$$\text{Prob}(y_i > j \mid X_i, C_i) = \Lambda[B(X_i)^\top \beta + C_i^\top \mu - \alpha_j], \quad (1)$$

où Λ est la fonction cumulative de la loi logistique. Les déterminants humains qui ont impactés la classification AOC au cours de l'histoire sont pris en compte par les effets fixes communaux notés μ . En l'absence d'*a priori* théorique sur l'effet de chaque variable biophysique X_i , nous les spécifions au travers d'une série de transformations additives *B-splines* que nous notons $B(\cdot)$ avec β le vecteur des coefficients associés. Ce modèle de désignation peut alors être estimé avec la fonction `gam` du package `mgcv` comme décrit dans Wood et al. (2016). Le manuel d'utilisation de l'auteur du package (Wood, 2017) contient de nombreux détails méthodologiques sur le processus de pénalisation semi-paramétrique des effets des variables continues.

Afin de contrôler les effets du terroir qui ne seraient pas pris en compte par les variables biophysiques présentées précédemment (à cause de variables omises ou d'erreurs de mesure), nous incluons les coordonnées géographiques des centroïdes des parcelles comme variables explicatives. Cela permet d'améliorer sensiblement les capacités prédictives du modèle et de proposer une estimation non biaisée des effets communaux (Ay, 2019). Nous estimons des modèles OGAM à des degrés divers d'ajustement des fonctions splines associées aux coordonnées géographiques. En augmentant le nombre maximal de degrés de liberté effectifs noté k dans la fonction `gam`, le modèle va s'ajuster plus finement aux variations locales des AOC pour prendre en compte les effets non observables. L'objet `gamod.Rda` téléchargeable sur <https://data.inra.fr/> contient 10 modèles OGAM de désignation des AOC actuelles qui vont du moins ajusté `gam50` au plus ajusté `gam900`.

```
GamModRaw <- get_file("gamod.Rda", "https://doi.org/10.15454/ZZWQMN")
writeBin(GamModRaw, "gamod.Rda") ; load("gamod.Rda") ; names(gamod)
```

```
[1] "gam50" "gam100" "gam200" "gam300" "gam400" "gam500" "gam600"
[8] "gam700" "gam800" "gam900"
```

Pour la reproductibilité des analyses, nous reportons ci-dessous le code pour l'estimation du modèle qui sera utilisé dans l'application, celui qui s'ajuste le mieux aux données et qui présente les meilleures prédictions. La localisation des parcelles est ajustée avec des fonctions splines cubiques pour un nombre

maximal de degré de liberté effectifs de $k = 900$. L'algorithme itératif des moindres carrés pondérés pénalisés est relativement long à effectuer : environ 9 heures avec un processeur Intel Core i7-7820HQ CPU 2.90 GHz x8 et 64 Go de RAM. Le lecteur peut accéder directement au résultat de cette estimation par l'objet `gamod$gam900` téléchargé précédemment sur le serveur.

```
## system.time(
##   gam900 <- gam(AOC~ 0+ LIBCOM+ EXPO+ GEOL+ PEDO
##               + s(DEM)+ s(SLOPE)+ s(RAYAT)+ s(X, Y, k= 900)
##               , data= Reg.Ras, family= ocat(R= 5))
## )
## utilisateur      système      écoulé
##   32271.43        93.78    32366.00
library(mgcv) ; anova(gamod$gam900)
```

Family: Ordered Categorical(-1,5.34,14.01,20.99)

Link function: identity

Formula:

AOC ~ 0 + LIBCOM + EXPO + GEOL + PEDO + s(DEM) + s(SLOPE) + s(RAYAT) +
s(X, Y, k = 900)

Parametric Terms:

	df	Chi.sq	p-value
LIBCOM	31	1363	<2e-16
EXPO	7	131	<2e-16
GEOL	14	441	<2e-16
PEDO	13	388	<2e-16

Approximate significance of smooth terms:

	edf	Ref.df	Chi.sq	p-value
s(DEM)	8.81	8.98	867	<2e-16
s(SLOPE)	7.72	8.61	190	<2e-16
s(RAYAT)	7.33	8.38	531	<2e-16
s(X,Y)	841.42	870.01	86597	<2e-16

Nous obtenons avec la fonction `anova` la significativité statistique des différentes variables incluses dans le modèle au regard des statistiques de χ^2 . Les variables indicatrices et les effets fixes sont dans la partie paramétrique (Parametric Terms, reportée en premier) alors que les variables continues sont dans la partie lissée (Approximate significance of smooth terms, reportée en second). Toutes les variables introduites dans le modèle sont significatives au seuil de 99 %, ce qui conforte notre hypothèse d'un modèle de désignation des AOC basé sur une variable latente de qualité des vignes. Dans ce modèle, qui s'ajuste précisément aux données, les coordonnées géographiques apparaissent les variables explicatives les plus importantes au sens du χ^2 , suivies des indicatrices communales, de l'altitude, du rayonnement solaire, de la géologie, de la pédologie, de la pente et enfin de l'exposition. Ce modèle avec un lissage spatial fort produit près de 90 % de bonnes prédictions des niveaux d'AOC pour un pseudo R^2 (au sens de McFadden) égal à 0,76. Les mêmes statistiques peuvent être obtenues pour les autres modèles présents dans l'objet `gamod`, moins lissés spatialement, mais ne sont pas reportées ici. Les résultats sur la significativité des variables et la forme des effets sont globalement robustes à l'ajustement des coordonnées géographiques.

```
sum(diag(table(cut(gamod$gam900$line,
                  c(-Inf, gamod$gam900$family$getTheta(TRUE), Inf)),
                  gamod$gam900$model[, 1])))/ nrow(gamod$gam900$model)*100
1- (logLik(gamod$gam900)/ logLik(update(gamod$gam900, . ~ + 1)))
```

```
[1] 89.48
'log Lik.' 0.7565 (df=964)
```

3.2 Effets des variables biophysiques

Les effets marginaux de chaque variable biophysique sur la variable latente de qualité des vignes, soient les fonctions $B(\cdot)$ dans l'équation (1), sont représentés graphiquement dans la **Figure 3**. La fonction `plot`, définie par le package `mgcv`, permet de représenter facilement chacun de ces effets additivement séparables.

```
plot(gamod$gam700, page= 1, scale= 0)
```

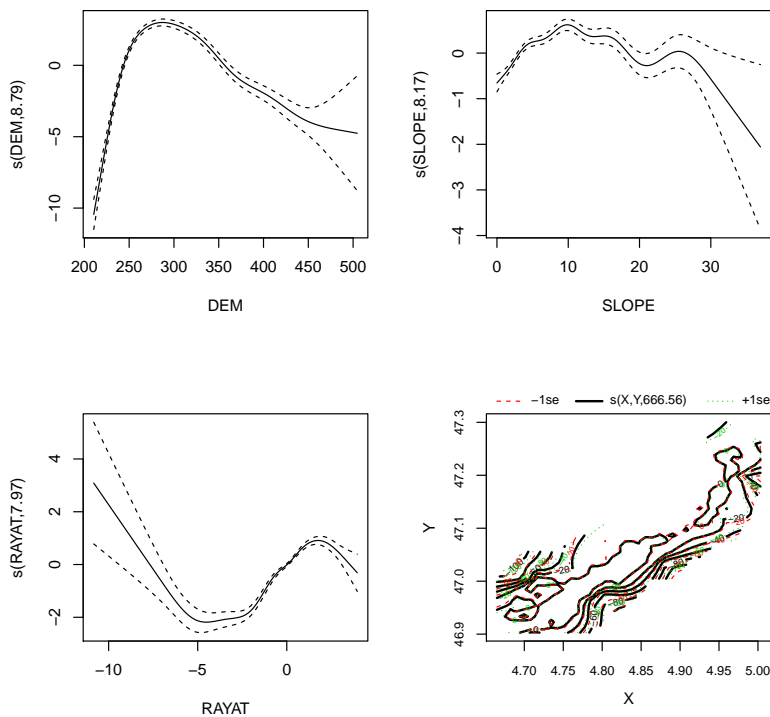


Figure 3: Effets de la topographie et de la localisation sur la qualité des vignobles.

Sources : INRA / INAO / MSH / DGFIP / IGN / BRGM / GisSol.

Lecture : Les trois premiers quadrants représentent les effets de l'altitude, de la pente et du rayonnement solaire en fixant toutes les autres variables explicatives du modèle à leurs moyennes de l'échantillon. Les effets ont une moyenne normalisée à 0 car leurs niveaux moyens ne sont pas identifiables semi-paramétriquement (Wood, 2017). La dernière fenêtre en bas à droite représente l'effet joint de la longitude et de la latitude par le biais de lignes de niveau et de leurs intervalles de confiance.

Des effets en U inversés sont obtenus pour l'altitude et la pente, avec les vignes les mieux classées en termes d'AOC qui sont situées à environ 300 mètres d'altitude et 10 degrés de pente. L'effet du rayonnement solaire est plus linéaire, contrairement à ce que le troisième quadrant de la Figure peut laisser apparaître. En effet, la plupart des parcelles sous AOC ont un rayonnement solaire centré-réduit compris entre -2 et 2 , soit la partie linéaire de la courbe représentée. Enfin, les effets spatiaux en bas à droite semblent se structurer dans une relation de centre/ périphérie par rapport aux altitudes intermédiaires. Des figures plus détaillées, qui contiennent en particulier les effets associés aux autres modèles moins ajustés spatialement, sont reportées dans l'article associé (Ay, 2019). Le lecteur peut aussi reproduire ces effets pour d'autres modèles avec la fonction `plot` du package `mgcv`. La structure des effets reste cependant robuste à l'ajustement des effets spatiaux, elle reste proche de ce qui est obtenu ici pour le modèle avec $k=900$.

3.3 Effets communaux

Les coefficients associés aux effets communaux sont d'un intérêt particulier car ils correspondent à la partie historique des AOC actuellement en vigueur, soit la partie qui est expliquée par une délimitation administrative et non par des caractéristiques biophysiques. Cette interprétation des effets fixes communaux fait écho à certains travaux d'historiens pour lesquels nos résultats offrent une confirmation statistique. En effet, Lucand dans Wolikow and Jacquet (2011) évoque l'existence d'une hiérarchie implicite des communes comme des "identifications commerciales communes, investies d'un plus ou moins grand capital symbolique hérité. Ce capital symbolique hérité attribut un prestige plus ou moins grand à certaines communes ou propriétaires particuliers" (p. 68). Les effets fixes que nous estimons peuvent alors être vus comme des mesures de ce capital symbolique. De manière complémentaire, Jacquet (2009) étudie la structuration des syndicats de viticulteurs aux XIXe et XXe siècles, qui s'opère quasi-exclusivement à l'échelle communale et mentionne le fait que (p.193) "plus l'appellation requise se calque sur le syndicat qui la défend, plus elle a de chance d'émerger et d'être délimitée strictement". Les effets fixes communaux peuvent donc également mesurer l'action des syndicats, qui apparaît ainsi avoir une forte inertie historique.

Pour faciliter l'interprétation des effets fixes communaux, nous traduisons les coefficients estimés en mesures de supériorités ordinales γ_A pour la commune A par rapport à la commune moyenne de la zone (Agresti and Kateri, 2017). Par définition,

$$\gamma_A = \Lambda \left[(\mu_A - \bar{\mu}) / \sqrt{2} \right] \quad (2)$$

où μ_A représente l'effet fixe de la commune A et $\bar{\mu}$ la moyenne des effets fixes sur la zone d'intérêt. Ainsi, cette mesure de supériorité ordinale comprise entre -1 et 1 représente l'écart de probabilité qu'une parcelle de la commune A soit mieux classée qu'une parcelle aux caractéristiques biophysiques identiques mais localisée dans une commune au hasard. Des valeurs positives indiquent des communes avantagées et des valeurs négatives des communes désavantagées par les désignations AOC. Le code suivant calcule ces mesures pour l'ensemble des communes de la zone et les représente graphiquement dans la Figure 4. Les objets `plogi` et `mso.key` requis pour l'évaluation du code sont définis en Annexe 2.

```
library(latticeExtra) ; resum900 <- summary(gamod$gam900)
cf <- resum900$p.coeff[ 4: 31] - mean(resum900$p.coeff[ 4: 31])
dat.fig <- data.frame(LIBCOM=substr(names(gamod$gam900$coef[ 4: 31]),7,30),
                      REGION= c(rep("tomato", 12), rep("chartreuse", 16)),
                      OS= 2* plogi(cf) - 1,
                      OSi= 2* plogi(cf - 1.5* resum900$se[ 4: 31]) - 1,
                      OSa= 2* plogi(cf + 1.5* resum900$se[ 4: 31]) - 1)
segplot(reorder(factor(LIBCOM), OS) ~ OSi + OSa,
```

```
length= 5, draw.bands= T, key= mso.key,
data= dat.fig[order(dat.fig$OS), ], center= OS, type= "o",
col= as.character(dat.fig$REGION[order(dat.fig$OS)]),
unit = "mm", axis = axis.grid, col.symbol= "black", cex= 1,
xlab= "Mesure de supériorité ordinale et intervalles à 10 %")
```

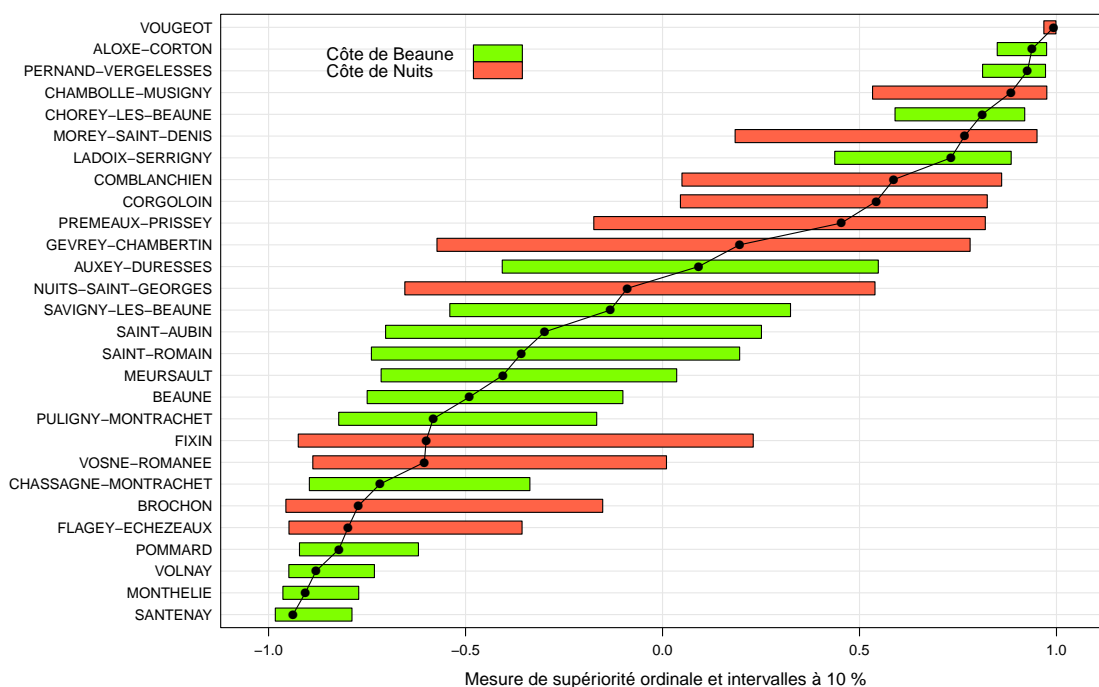


Figure 4: Classification des communes selon les mesures de supériorité ordinale.

Sources : INRA / INAO / MSH / DGFIP / IGN / BRGM / Gis Sol.

Lecture : Pour chacune des communes de la zone (en ordonnées), la figure reporte la mesure de supériorité ordinale de la désignation des AOC par rapport à la commune moyenne, c'est-à-dire l'écart de probabilité qu'une même parcelle soit mieux classée dans la commune considérée que dans une commune de la zone prise au hasard. Les intervalles de confiance représentent l'incertitude associée à l'estimation des effets fixes communaux dans la modélisation statistique (à 90 %).

Les communes relativement favorisées par la classification des AOC apparaissent en haut de la Figure 4 et les communes relativement défavorisées en bas. Les intervalles de confiance qui encadrent les valeurs moyennes sont différents de ceux reportés dans Ay (2019). Ils représentent ici l'incertitude associée à l'estimation des effets fixes communaux plutôt que l'incertitude associée à la spécification du lissage spatial. Les ordres de grandeur obtenus pour ces deux sources d'incertitude sont toutefois similaires. Nous observons que certaines mesures de supériorité ordinale suivent la hiérarchie des dotations brutes en AOC telles que présentées dans la Figure 2 de la Section 2.1, où les communes privilégiées sont celles qui possèdent les plus grosses proportions d'AOC en haut de la hiérarchie (Premiers crus et Grands crus). Mais cette relation n'est pas systématique, certaines communes peu dotées en hauts niveaux d'AOC apparaissent également privilégiées. Parmi les 5 communes les plus privilégiées par la classification AOC, les communes de Vougeot et d'Aloxe-Corton sont relativement bien dotées en Premiers et Grands Crus, alors que ce n'est pas le cas pour les communes de Pernand-Vergelesses et de Chorey-les-Beaunes. À l'inverse, Chassagne-Montrachet ou Vosnes-Romanée possèdent de fortes proportions de Premiers et Grands Crus, sans que cela semble venir, au regard de nos résultats, d'un traitement préférentiel dans la classification.

3.4 Prédiction de la qualité continue

Les prédictions de la variable latente associée au modèle OGAM vont représenter les valeurs estimées de la qualité des vignes au sens des AOC actuelles pour chacune des parcelles de la zone. Nous obtenons ainsi un score continue pour chaque parcelle uniquement selon ses caractéristiques biophysiques et, selon que l'on prenne ou pas en compte sa commune d'appartenance, le traitement préférentiel dont elle a fait l'objet au cours de l'histoire. Notons que cette classification statistique des parcelles est directement issue des AOC qui existent aujourd'hui et ne se base pas sur des appréciations subjectives exogènes sur ce qui fait la qualité d'une vigne ou d'un vin. Le code suivant présente le calcul des prédictions et leur normalisation pour qu'elles soient distribuées entre 0 et 100 (avec la fonction `unini`), pour l'ensemble des parcelles de la base `Prd.Ras`. Notons que la ligne sur les prédictions, commentée, est assez longue à évaluer dans R (5 minutes).

```
Prd.Ras <- subset(Geo.Ras, !is.na(AOC1b))
Prd.Ras$GEOL <- ifelse(Prd.Ras$NOTATION%in%levels(gamod$gam900$model$GEOL),
                      as.character(Prd.Ras$NOTATION), "0AREF")
Prd.Ras$PEDO <- ifelse(Prd.Ras$NOUC %in% levels(gamod$gam900$model$PEDO),
                      as.character(Prd.Ras$NOUC), "0AREF")
## prd <- predict(gamod$gam900, newdata= Prd.Ras@data, type= "terms")
Prd.Ras$LTraw <- rowSums(prd, na.rm= TRUE)
Prd.Ras$LTcor <- mean(prd[, 1], na.rm= T)+ rowSums(prd[, -1], na.rm= T)
unini <- function(x) (x- min(x))/( max(x)- min(x))
Prd.Ras$UFraw <- round(unini(Prd.Ras$LTraw)* 100, 2)
Prd.Ras$UFcor <- round(unini(Prd.Ras$LTcor)* 100, 2)
lapply(Prd.Ras@data[, c("UFraw", "UFcor")], summary)
```

\$UFraw

Min.	1st Qu.	Median	Mean	3rd Qu.	Max.
0.0	67.0	72.5	70.6	75.6	100.0

\$UFcor

Min.	1st Qu.	Median	Mean	3rd Qu.	Max.
0.0	67.4	71.7	70.8	76.6	100.0

Les prédictions sont donc disponibles avec (`UFcor`) et sans (`UFraw`) correction des effets communaux afin que, en plus de pouvoir consulter le classement corrigé, l'utilisateur puisse apprécier le niveau du biais communal dans la classification actuelle des AOC. Nous avons normalisé ces deux variables pour produire un score de classification des parcelles selon des valeurs comprises entre 0 et 100, avec des distributions qui apparaissent aplaties à gauche (les médianes sont supérieures aux moyennes).

3.5 Agrégation par lieux-dits

Pour faciliter la consultation de ces résultats dans l'application *Shiny*, nous agrégeons les scores prédits au niveau des parcelles sur la base d'un recodage des dénominations et des lieux-dits. Nous utilisons pour cela les lieux-dits administratifs qui permettent en outre de localiser plus précisément les parcelles en niveaux Coteaux bourguignons, Bourgogne régional et Village pour lesquels la mention de la parcelle n'est pas reportée systématiquement sur l'étiquette des bouteilles de vin (cette pratique est néanmoins de plus en plus fréquente en Côte d'Or). Il s'agit également ici de renommer les dénominations géographiques complémentaires associées aux Premiers crus pour qu'ils soient plus lisibles dans l'application.

```

Prd.Ras$NIVEAU <- as.character(revalue(factor(Prd.Ras$AOC), NVA))
Prd.Ras$NAME <- ifelse(Prd.Ras$AOC== 5, as.character(Prd.Ras$AOC1b),
  ifelse(Prd.Ras$AOC< 4, as.character(Prd.Ras$LIEUDIT), NA))
for (i in 1:nrow(Prd.Ras)){
  if (is.na(Prd.Ras$NAME[ i])){
    Prd.Ras$NAME[ i] <- substr(Prd.Ras$AOC1b[ i],
      regexpr(" cru+", Prd.Ras$AOC1b[ i],
        perl= T)+ 5,
      nchar(as.character(Prd.Ras$AOC1b[ i])))
  } else {(Prd.Ras$NAME[ i])}
}
Prd.Ras$Concat <- paste0(Prd.Ras$AOC, Prd.Ras$LIBCOM, Prd.Ras$NAME)
length(unique(Prd.Ras$Concat))

```

[1] 2391

Ainsi, à partir des 60 000 parcelles cadastrales utilisées pour estimer le modèle statistique de classification, nous obtenons environ 2 400 localités, qui correspondent aux lieux-dits pour les niveaux Coteaux Bourguignons, Bourgogne régional, et Village ; ils correspondent aux dénominations retravaillées pour les Premiers crus ; et aux appellations pour les Grands Crus. Cela fait une moyenne de 25 parcelles par localité.

Nous allons désormais fusionner la géographie des parcelles selon la variable Contat tout juste créée pour agréger les scores prédits. Les scores alors reportés au niveau des nouvelles localités seront calculés par moyennes pondérées par la surface de chaque parcelle qui les compose. Nous calculons également la position de chaque localité dans la hiérarchie continue issue de la modélisation par rapport à l'ensemble des localités de la zone (avec les variables RANG_brut et RANG_corrige), ce qui permet de présenter, en sortie du code ci-dessous, les 10 localités les mieux notées sur la base des scores corrigés.

```

library(data.table) ; Prd.Dtb <- data.table(Prd.Ras@data)
Dat.Ldt <- Prd.Dtb[, .(LIBCOM= LIBCOM[ 1], NOM= NAME[ 1],
  NIVEAU= NIVEAU[ 1],
  SURFACE_ha= round(sum(AREA)/ 1e4, 2),
  SCORE_brut= round(weighted.mean(UFraw, AREA), 2),
  SCORE_corrige=round(weighted.mean(UFcor, AREA), 2)), by= Concat]
library(rgdal) ; library(rgeos) ; library(maptools)
tmp_geo <- gBuffer(Prd.Ras, byid= TRUE, width= 0)
Poly.ldt <- unionSpatialPolygons(tmp_geo, Prd.Ras$Concat)
Poly.ldt$Concat <- as.character(row.names(Poly.ldt))
Poly.Ras <- merge(Poly.ldt, Dat.Ldt, by= "Concat")
Poly.Ras$RANG_brut<- round(rank(Poly.Ras$SCORE_brut)/ nrow(Poly.Ras)*100,2)
Poly.Ras$RANG_corrige <- round(rank(Poly.Ras$SCORE_corrige)/
  nrow(Poly.Ras)*100,2)
head(Poly.Ras@data[order(Poly.Ras$RANG_corrige, decreasing= T), c(3, 4, 6, 7)], n= 10)
Poly.Ras$NIVEAU <- factor(Poly.Ras$NIVEAU, levels= NVA)

```

	NOM	NIVEAU	SCORE_brut	SCORE_corrige
2364	Chambertin	Grand cru	94.22	94.11
2363	Grands-Echezeaux	Grand cru	87.73	90.76
2384	Montrachet	Grand cru	88.72	90.69
2381	Bâtard-Montrachet	Grand cru	87.73	89.68

2361	Montrachet	Grand cru	87.05	89.58
2362	Echezeaux	Grand cru	86.13	89.12
2369	Latricières-Chambertin	Grand cru	88.73	88.53
2371	Mazoyères-Chambertin	Grand cru	88.71	88.50
2359	Bâtard-Montrachet	Grand cru	85.80	88.30
2010	La Combe d'Orveau	Premier cru	91.01	87.83

Comme on pouvait s'y attendre avec le pourcentage de bonnes prédictions obtenu, les Grands Crus arrivent en haut de la classification statistique, qu'ils appartiennent à la côte de Nuits (comme Chambertin et Grands-Echezeaux) ou à la côte de Beaune (comme Montrachet et Bâtard-Montrachet). Notons tout de même qu'un Premier cru arrive en dixième position, ce qui signifie qu'il dépasse les 2/3 des Grands crus de la zone. Ce Premier cru qui a pour dénomination "La Combe d'Orveau" se trouve sur la commune de Chambolle-Musigny, qui n'apparaît pas, par ailleurs, relativement désavantagée selon la [Figure 4](#). Cela indique que la haute classification de ce Premier cru (en particulier au-dessus du Grand cru "Musigny" situé sur la même commune) provient des caractéristiques biophysiques et non de la correction communale. Également étonnant, le Grand cru la "Romanée-Conti" qui apparaît souvent parmi les vins les plus chers du monde (<https://www.wine-searcher.com/most-expensive-wines>) n'apparaît qu'en 26e position. Le lieu-dit est tout de même dans les 2 % meilleures localités de la zone. Les résultats amènent à penser que la situation de monopole du domaine de la Romanée-Conti qui exploite ce climat peut expliquer le fort prix observé des bouteilles, indépendamment des caractéristiques biophysiques.

Nous enregistrons ensuite les résultats agrégés de la prédiction dans un objet de type `sf` défini par le package du même nom ([Pebesma, 2018](#)). Cette objet nommé `Poly.Ras` pourra directement être utilisée dans l'application *Shiny* pour consulter, lancer, ou modifier le classement statistique que nous avons obtenu. Les résultats issus du recodage des dénominations et de l'agrégation des scores prédits sont accessibles sur le serveur data de l'INRA à l'adresse <https://data.inra.fr/>, qui peut être aussi chargée comme précédemment avec le package `dataverse`.

```
library(sf) ; Poly.Ras <- st_as_sf(Poly.Ras)
Poly.Ras <- st_transform(Poly.Ras, crs= 4326)
save(Poly.Ras, file= "Inter/PolyRas.Rda")
st_write(Poly.Ras, "/home/jsay/geoInd/Application2/Inter/PolyRas.shp",
         delete_layer= TRUE)
```

4 Application *Shiny*

Il y a deux manières d'utiliser l'application *Shiny* ([Chang et al., 2019](#)) pour consulter la classification statistique. Le lecteur peut consulter l'application sur internet à l'adresse <https://cesaer-datas.inra.fr/geoind/> (cf. sous-section 4.3), ou alors installer l'application en local (à partir des données et codes téléchargés sur le serveur <https://data.inra.fr/>) en suivant la procédure décrite dans les deux sous-sections suivantes.

4.1 Carte dynamique

Une première étape pour générer l'application localement consiste à définir une carte dynamique, de type Leaflet, grâce au package `mapview` ([Appelhans et al., 2018](#)), qui sera ensuite intégrée à l'application. Cela nécessite la présence de l'objet `Poly.Ras`, issu des traitements précédents, dans le répertoire de travail.

```
library(RColorBrewer) ; library(mapview) ; library(sf)
Poly.Ras <- st_read("Inter/PolyRas.shp")
Poly.Ras$NIVEAU <- factor(Poly.Ras$NIVEAU,
                          levels= c("Coteaux b.", "Bourgogne", "Village",
                                     "Premier cru", "Grand cru"))

AocPal <- brewer.pal(5, "BuPu")
mapviewOptions(basemaps= c("Esri.WorldImagery", "OpenStreetMap",
                           "OpenTopoMap", "CartoDB.Positron"),
               raster.palette= colorRampPalette(brewer.pal(9, "Greys")),
               vector.palette= colorRampPalette(brewer.pal(9, "YlGnBu")),
               na.color= "magenta", layers.control.pos = "topleft")
map <- mapview(Poly.Ras, zcol= "NIVEAU", label= Poly.Ras$NOM,
               layerId= Poly.Ras$Concat, alpha.regions= .5,
               col.regions = AocPal, color= "white", legend.opacity= .5,
               popup = popupTable(Poly.Ras, feature.id= FALSE,
                                   zcol= names(Poly.Ras)[ -1]))
```

L'objet `map` ainsi créé permet de faire apparaître sur un navigateur internet une carte dynamique pour visualiser les différentes parcelles viticoles de la zone et faire apparaître le score (corrigé des effets communaux ou pas) suite à un clic sur une parcelle donnée. Il apparaît alors le nom de la commune d'appartenance (LIBCOM), le nom du lieu-dit (NOM), le niveau dans la hiérarchie des AOC (NIVEAU), la surface du lieu-dit (SURFACE), le score brut (SCORE_b) et corrigé (SCORE_c), ainsi que la position du lieu dit dans la hiérarchie générale de la région (RANG_br pour la version brute et RANG_cr pour la version corrigée).

4.2 Lancer l'application localement

Une fois la carte dynamique `map` créée, le code précédent et le code suivant doivent être enregistrés dans un fichier `global.R` en accord avec la structuration habituelle des applications *Shiny* (Chang et al., 2019). Les deux autres scripts `ui.R` et `server.R` nécessaires pour lancer localement l'application *Shiny* sont reportés en Annexes 5 et 6. Ils contiennent respectivement le paramétrage de l'interface utilisateur et les calculs qui sont effectués sur le serveur pour l'interactivité de l'application. Le code ci-dessous source ces deux fichiers qui sont également disponibles sur un répertoire distant <https://github.com/jsay/geoInd/>.

```
library(shiny) ; library(shinydashboard) ; library(shinyjs)
library(leaflet) ; library(mapttools) ; library(ggplot2)
library(markdown)
Pts.Crd <- st_centroid(Poly.Ras)
source("ui.R") ; source("server.R")
enableBookmarking(store = "url")
shinyApp(ui, server)
```

La commande `shinyApp(ui, server)` lance l'application dans le navigateur internet par défaut, et permet d'obtenir localement le même résultat que la version en ligne de l'application.

4.3 Exemple d'utilisation

L'application est structurée en trois parties : en haut à gauche, trois zones de saisie permettent de renseigner par menus déroulants directement le nom d'une localité (à partir des informations typiquement disponibles sur l'étiquette d'une bouteille de vin ou à partir des connaissances personnelles de l'utilisateur) ; en bas à

gauche, un graphique positionne la qualité de la localité sélectionnée dans la distribution générale des qualités (où les niveaux d'appellation sont différenciés) ; à droite la carte dynamique permet de faire apparaître la localité sélectionnée. L'utilisateur peut sélectionner un vin par ses références mais peut aussi se déplacer librement sur le périmètre d'étude, dans les parcelles voisines d'un lieu-dit par exemple. Ainsi, un clic sur une parcelle permet de faire apparaître ses caractéristiques, les prévisions corrigées et non corrigées en particulier.

Prenons l'exemple d'un vin de niveau Premier cru, sur la commune de Flagey-Echezeaux, qui a pour nom de lieu-dit (dénomination géographique complémentaire en l'occurrence) "Les Rouges". Suite à la saisie de ces caractéristiques dans les zones dédiées en haut à gauche, le score corrigé prédit pour ce vin égal à 83,82 apparaît dans le graphique en bas à gauche de l'application. Ce score est supérieur à l'ensemble des Coteaux bourguignons, des Bourgognes régionaux et des villages du périmètre de l'étude. Ce vin de niveau Premier cru est parmi les 10 % des Premiers crus qui ont les plus hauts scores et il dépasse même 30 % des Grands crus du périmètre. La partie à droite de l'application a zoomé sur cette zone, un clic sur le lieu-dit en question permet de faire apparaître la différence entre les prédictions brutes et corrigées. Ainsi, le score non corrigé de la localité est sensiblement plus bas (80,92), ce qui implique que suite à la correction des effets communaux, le vin passe du top 7 % au top 3 % sur l'ensemble de la zone étudiée. Ce résultat est consistant avec les effets communaux reportés dans la Figure 5, où la commune de Flagey-Echezeaux apparaît comme relativement défavorisée dans la hiérarchie. D'après la carte reportée dans l'application, on peut constater que ce Premier cru est mitoyen du Grand cru Echezeaux qui se trouve tout juste à l'est.

5 Conclusion

Ce travail détaille, de façon reproductible, toutes les étapes qui permettent de construire une base de données des parcelles cadastrales de 31 communes viticoles de la Côte-d'Or. La base contient les caractéristiques géométriques des parcelles ainsi que leur classement AOC et leurs informations biophysiques (topographie, géologie, pédologie). Les données de cette recherche sont ensuite utilisées pour modéliser statistiquement, pas-à-pas, les classifications AOC du périmètre d'étude. Les résultats sont restitués via une application de cartographie interactive de type *Shiny*. Toutes les étapes de la mise en oeuvre et les modalités de consultation sont décrites dans l'article.

La classification statistique obtenue permet de préciser la hiérarchie des AOC actuelles. Il est important de mentionner que cette classification se base exclusivement sur les caractéristiques biophysiques des parcelles et ne contient aucune appréciation subjective exogène sur leur pondération ni sur l'importance d'autres facteurs (olfactifs, de réputation, de prix) en lien avec des références subjectives de la qualité d'un vin. L'approche statistique permet en outre de corriger les effets communaux issus des arbitrages politiques qui ont eu lieu au cours de l'histoire, et qui apparaissent avoir une influence sur le classement AOC sans que ce soit justifié du point de vue des caractéristiques biophysiques des parcelles. La classification obtenue est donc directement déduite de la hiérarchie actuelle des AOC qui, au regard de la hiérarchie de prix qu'elle produit, est une information jugée crédible pour les acteurs des marchés du vin (Ay, 2019).

En revanche, le modèle proposé n'est pas déterministe et de l'incertitude persiste dans la classification obtenue. La hiérarchie des parcelles dépend de la spécification du modèle statistique et le fait d'avoir favorisé des variables biophysiques pour décrire la relation entre les lieux de production et la qualité des vins peut faire débat, par opposition aux facteurs humains qui ont un effet indéniable sur la qualité des vins. Le débat sur l'articulation des facteurs humains et des facteurs naturels de la qualité du vin existe depuis plus d'un demi-siècle et produit des discussions toujours d'actualité (Delay and Chevallier, 2015; Lammoglia et al., 2019). C'est pour alimenter ce débat que les analyses présentées dans cet article sont totalement reproductibles à partir de la base de donnée mise à disposition. Les codes pour l'estimation du modèle sont reportés dans

l'article, afin de permettre l'estimation de modèles alternatifs. L'appariement de données supplémentaires pour relier les AOC aux caractéristiques des lieux est également possible par la géolocalisation des parcelles cadastrales. La transparence des analyses permet aux résultats d'être discutés et contestés afin de faire l'objet d'une appropriation par les chercheurs, les décideurs, les professionnels du secteur, ou les amateurs de vin.

5.1 Remerciements

Nous tenons à remercier Pauline Mialhe (CRC, Centre de Recherches de Climatologie, Laboratoire Biogéosciences - Université de Bourgogne), Vincent Larmet et Guillaume Royer (INRA CESAER, Centre d'Economie et de Sociologie appliqués à l'Agriculture et aux Espaces Ruraux) pour leur aide sur le développement de l'application issue de cette recherche.

References

- Agresti, A. and Kateri, M. (2017). Ordinal probability effect measures for group comparisons in multinomial cumulative link models. *Biometrics* 73: 214–219.
- Appelhans, T., Detsch, F., Reudenbach, C. and Woellauer, S. (2018). mapview: Interactive Viewing of Spatial Data in R. R package version 2.6.3.
- Ay, J.-S. (2011). Hétérogénéité de la terre et rareté économique. Theses, Université de Bourgogne.
- Ay, J.-S. (2019). The informational content of geographical indications. *en révision*.
- Bivand, R. S., Pebesma, E. and Gomez-Rubio, V. (2013). *Applied spatial data analysis with R, Second edition*. Springer, NY.
- Capus, J. (1947). *L'Évolution de la législation sur les appellations d'origine. Genèse des appellations contrôlées*. L. Larmat.
- Chang, W., Cheng, J., Allaire, J., Xie, Y. and McPherson, J. (2019). shiny: Web Application Framework for R. R package version 1.4.0.
- Coestier, B. and Marette, S. (2004). *Economie de la qualité*. La découverte.
- Conrad, O., Bechtel, B., Bock, M., Dietrich, H., Fischer, E., Gerlitz, L., Wehberg, J., Wichmann, V. and Böhner, J. (2015). System for automated geoscientific analyses (saga) v. 2.1. 4. *Geoscientific Model Development* 8: 1991–2007.
- Delay, E. and Chevallier, M. (2015). Roger Dion, toujours vivant! *Cybergeog: European Journal of Geography* GeOpenMod, document 721.
- Dion, R. (1952). Querelle des anciens et des modernes sur les facteurs de la qualité du vin. *Annales de géographie* 61: 417–431.
- Garcia, J.-P. (2011). *Les climats du vignoble de Bourgogne comme patrimoine mondial de l'humanité*. Ed. Universitaires de Dijon.
- Hilal, M. (2020). Land use land cover high resolution map (5-m) for côte-d'or (21). *Portail Data INRAE* <https://doi.org/10.15454/ECLYGT>.
- Hilal, M., Joly, D., Roy, D. and Vuidel, G. (2018). Visual structure of landscapes seen from built environment. *Urban Forestry & Urban Greening* 32: 71–80.
- Humbert, F. (2011). L'INAO, de ses origines à la fin des années 1960: genèse et évolutions du système des vins d'AOC. Ph.D. thesis, Université de Bourgogne.
- Jacquet, O. (2009). *Un siècle de construction du vignoble bourguignon. Les organisations vitivinicoles de 1884 aux AOC*. Editions Universitaires de Dijon.
- Lammoglia, A., Leturcq, S. and Delay, E. (2019). Le modèle VitiTerroir pour simuler la dynamique spatiale des vignobles sur le temps long (1836-2014). *Cybergeog: European Journal of Geography* GeOpenMod, document 820.
- Lavalle, J. (1855). *Histoire et statistique de la vigne et des grands vins de la Côte d'Or*. Daumier, Dijon.

- Leeper, T. J. (2017). *dataverse: R Client for Dataverse 4*. R package version 0.2.0.
- Lucand, C. (2017). *Le vin et la guerre: Comment les nazis ont fait main basse sur le vignoble français*. Armand Colin.
- Pebesma, E. (2018). Simple Features for R: Standardized Support for Spatial Vector Data. *The R Journal* 10: 439–446, doi:10.32614/RJ-2018-009.
- R Core Team (2019). *R: A Language and Environment for Statistical Computing*. R Foundation for Statistical Computing, Vienna, Austria.
- Rich, P. M. and Fu, P. (2000). Topoclimatic habitat models. *Proceedings of the Fourth International Conference on Integrating GIS and Environmental Modeling*.
- Wolikow, S. and Jacquet, O. (2011). *Territoires et terroirs du vin du XVIIIe au XXIe siècles*. Éditions Universitaires de Dijon.
- Wood, S. N. (2017). *Generalized additive models: An introduction with R*. Chapman and Hall/CRC, second edition.
- Wood, S. N., Pya, N. and Säfken, B. (2016). Smoothing parameter and model selection for general smooth models. *Journal of the American Statistical Association* 111: 1548–1563.

A Annexes

Annexe 1 : Configuration logicielle

```
sessionInfo()
```

```
R version 3.6.0 (2019-04-26)
```

```
Platform: x86_64-pc-linux-gnu (64-bit)
```

```
Running under: Ubuntu 18.04.2 LTS
```

```
Matrix products: default
```

```
BLAS: /usr/lib/x86_64-linux-gnu/blas/libblas.so.3.7.1
```

```
LAPACK: /usr/lib/x86_64-linux-gnu/lapack/liblapack.so.3.7.1
```

```
locale:
```

```
[1] LC_CTYPE=fr_FR.UTF-8      LC_NUMERIC=C
[3] LC_TIME=fr_FR.UTF-8      LC_COLLATE=fr_FR.UTF-8
[5] LC_MONETARY=fr_FR.UTF-8  LC_MESSAGES=fr_FR.UTF-8
[7] LC_PAPER=fr_FR.UTF-8     LC_NAME=C
[9] LC_ADDRESS=C             LC_TELEPHONE=C
[11] LC_MEASUREMENT=fr_FR.UTF-8 LC_IDENTIFICATION=C
```

```
attached base packages:
```

```
[1] stats      graphics  grDevices  utils      datasets  methods
[7] base
```

```
other attached packages:
```

```
[1] latticeExtra_0.6-28 lattice_0.20-38      mgcv_1.8-28
[4] nlme_3.1-140      rgdal_1.3-6         sf_0.7-2
[7] mapview_2.6.3     RColorBrewer_1.1-2  sp_1.3-1
```

```
loaded via a namespace (and not attached):
```

```
[1] Rcpp_1.0.0        compiler_3.6.0      later_0.7.5
[4] base64enc_0.1-3   class_7.3-15        tools_3.6.0
[7] digest_0.6.18     satellite_1.0.1     viridisLite_0.3.0
[10] png_0.1-7         Matrix_1.2-17       shiny_1.2.0
[13] DBI_1.0.0         crosstalk_1.0.0     e1071_1.7-0
[16] raster_2.8-4      htmlwidgets_1.3     stats4_3.6.0
[19] classInt_0.3-1    leaflet_2.0.2       grid_3.6.0
[22] webshot_0.5.1     R6_2.4.0            magrittr_1.5
[25] scales_1.0.0      codetools_0.2-16    promises_1.0.1
[28] htmltools_0.3.6   units_0.6-2         splines_3.6.0
[31] mime_0.6          xtable_1.8-3        colorspace_1.3-2
[34] httpuv_1.4.5      munsell_0.5.0
```

Annexe 2 : Configuration graphique

```
## Pour Figure 2
my.lab= c(BGOR= "Coteaux b.", BOUR= "Bourgogne", VILL= "Village",
          PCRU= "Premier cru", GCRU= "Grand cru")
library(RColorBrewer)
my.pal= brewer.pal(n= 9, name = "BuPu")[ 2: 8]
library(lattice)
my.key= list(space= "top", points= F, rectangles= T, columns= 5, text= my.lab)
my.par= list(superpose.polygon= list(col= my.pal))
my.pan= function(x, y, ...) {
  panel.grid(h= 0, v = -11, col= "grey60")
  panel.barchart(x, y, ...)
  ltext(fig.crd, y, lab= ifelse(fig.lab> 0, fig.lab, ""))}

## Pour Tableau 7
library(stargazer)
tb.lab <-
  c(AREA= "Surface [1000 m^2$]", DEM= "Altitude [1000 m]",
    SLOPE= "Pente [degrés]", SOLAR= "Radiation solaire [millions J]",
    X= "Longitude [degrés]", Y= "Latitude [degrés]",
    AOC1= "Niveau AOC Coteaux", AOC2= "Niveau AOC Régional",
    AOC3= "Niveau AOC Village", AOC4= "Niveau AOC Premier Cru",
    AOC5= "Niveau AOC Grand Cru",
    EXP01= "Exposition [$0-45$]", EXP02= "Exposition [$45-90$]",
    EXP03= "Exposition [$90-135$]", EXP04= "Exposition [$135-180$]",
    EXP05= "Exposition [$180-225$]", EXP06= "Exposition [$225-270$]",
    EXP07= "Exposition [$270-315$]", EXP08= "Exposition [$315-360$]")

## Pour Figure 4
plogi <- function(x) exp(x/ sqrt(2))/ (1+ exp(x/ sqrt(2)))
mso.key <- list(x = .35, y = .95, corner = c(1, 1),
               text = list(c("Côte de Beaune", "Côte de Nuits")),
               rectangle = list(col = c("chartreuse", "tomato")))
```

Annexe 3 : Dictionnaire des variables

Table 2: Dictionnaire des variables disponibles dans la base de données

NOM	TYPE	DESCRIPTION
IDU	<i>Caractère</i>	Identifiant de la parcelle cadastrale (14 caractères)
CODECOM	<i>Caractère</i>	Code INSEE de la commune d'appartenance (5 caractères)
AREA	<i>Numérique</i>	Surface calculée de la parcelle cadastrale (en mètres carrés)
PERIM	<i>Numérique</i>	Périmètre calculé de la parcelle cadastrale (en mètres)
MAXDIST	<i>Numérique</i>	Distance maximale calculée entre deux sommets (en mètres)
PAOC	<i>Indicatrice</i>	1 si la parcelle est dans au moins une AOC
BGOR	<i>Indicatrice</i>	1 si la parcelle est dans le niveau Coteaux bourguignon
BOUR	<i>Indicatrice</i>	1 si la parcelle est dans le niveau Bourgogne régional
VILL	<i>Indicatrice</i>	1 si la parcelle est dans le niveau Bourgogne village
COMM	<i>Indicatrice</i>	1 si la parcelle est dans le niveau Bourgogne communal
PCRU	<i>Indicatrice</i>	1 si la parcelle est dans le niveau Premier cru
GCRU	<i>Indicatrice</i>	1 si la parcelle est dans le niveau Grand cru
AOC	<i>Numérique</i>	Rang de la parcelle dans la hiérarchie des AOC (entre 0 et 5)
AOCtp	<i>Caractère</i>	Modalité Appel pour une appellation ou Denom pour une dénomination
AOC1b	<i>Caractère</i>	Libellé de l'appellation ou de la dénomination selon la variable AOCtp
AOC36lab	<i>Caractère</i>	Libellé de l'appellation en 1936 (56 modalités)
AOC36lv1	<i>Caractère</i>	Rang de la parcelle dans la hiérarchie des AOC de 1936 (0, 3 ou 5)
LIEUDIT	<i>Caractère</i>	Libellé du lieu dit de la parcelle (2691 modalités)
CLDVIN	<i>Caractère</i>	Identifiant du lieu dit de la parcelle (2691 modalités)
LIBCOM	<i>Caractère</i>	Libellé de la commune de la parcelle (31 modalités)
XCHF	<i>Numérique</i>	Latitude du chef-lieu de la commune (système Lambert 93)
YCHF	<i>Numérique</i>	Longitude du chef-lieu de la commune (système Lambert 93)
ALTCOM	<i>Numérique</i>	Altitude du point culminant de la commune (mètre)
SUPCOM	<i>Caractère</i>	Superficie de la commune de la parcelle (hectare)
POPCOM	<i>Numérique</i>	Population de la commune de la parcelle en 2015 (millier d'hab)
CODECANT	<i>Caractère</i>	Identifiant du canton d'appartenance (2 caractères)
REGION	<i>Caractère</i>	Region viticole (CDB pour côte de Beaune, CDN pour côte de Nuits)
PAR2RAS	<i>Numérique</i>	Identifiant pour appariement entre vecteurs et raster
XL93	<i>Numérique</i>	Latitude du centroïde de la parcelle (système Lambert 93)
YL93	<i>Numérique</i>	Longitude du centroïde de la parcelle (système Lambert 93)
NOMOS	<i>Numérique</i>	Part de la parcelle hors du mode d'occupation des sol (entre 0 et 1)
URBAN	<i>Numérique</i>	Part de la parcelle en usage urbain selon le MOS (entre 0 et 1)
FOREST	<i>Numérique</i>	Part de la parcelle en usage forestier selon le MOS (entre 0 et 1)
WATER	<i>Numérique</i>	Part de la parcelle en eau selon le MOS (entre 0 et 1)
DEM	<i>Numérique</i>	Altitude moyenne de la parcelle selon le MNT (en mètres)
SLOPE	<i>Numérique</i>	Pente moyenne de la parcelle selon le MNT (en degrés)
ASPECT	<i>Numérique</i>	Exposition moyenne de la parcelle selon le MNT (en degrés)
SOLAR	<i>Numérique</i>	Radiation solaire moyenne sur la parcelle (en Joules)
CODE	<i>Caractère</i>	Code de la géologie (31 modalités)
NOTATION	<i>Caractère</i>	Notation stratigraphique harmonisée (31 modalités)
DESCR	<i>Caractère</i>	Description géologie (31 modalités)

Continued on next page

Continued from previous page

NOM	TYPE	DESCRIPTION
TYPEGEOL	<i>Caractère</i>	Type superficiel (4 modalités)
APLOCALE	<i>Caractère</i>	Colluvions, Eboulis, etc. (28 modalités)
TYPEAP	<i>Caractère</i>	Type de formation (7 modalités)
GEOLNAT	<i>Caractère</i>	Nature Géologique (3 modalités)
ISOPIQUE	<i>Caractère</i>	Faciès des couches (4 modalités)
AGEDEB	<i>Caractère</i>	Age de la couche (24 modalités)
ERADEB	<i>Caractère</i>	Céno ou Méso (2 modalités)
SYSDEB	<i>Caractère</i>	Age autre (5 modalités)
LITHOLOGIE	<i>Caractère</i>	Litho (16 modalités)
DURETE	<i>Caractère</i>	Dureté (3 modalités)
ENVIRONMT	<i>Caractère</i>	Environnement (9 modalités)
GEOCHIMIE	<i>Caractère</i>	Géochimie (5 modalités)
LITHOCOM	<i>Caractère</i>	Litho détaillée (30 modalités)
NOUC	<i>Caractère</i>	Numéro de l'unité cartographique (2 caractères)
SURFUC	<i>Numérique</i>	Surface de l'unité cartographique (en hectares)
TARG	<i>Numérique</i>	Taux d'argile de l'unité typologique dominante (pourcentage)
TSAB	<i>Numérique</i>	Taux de sable de l'unité typologique dominante (pourcentage)
TLIM	<i>Numérique</i>	Taux de limons de l'unité typologique dominante (pourcentage)
TEXTAG	<i>Caractère</i>	Classes de textures agrégées en 9 modalités (voir Ay, 2011)
EPAIS	<i>Numérique</i>	Épaisseur des sols de l'unité typologique dominante (centimètre)
TEG	<i>Numérique</i>	Taux d'éléments grossiers de l'unité typologique dominante (pour mille)
TMO	<i>Numérique</i>	Taux de Matière organique de l'unité typologique dominante (pourcentage)
RUE	<i>Numérique</i>	Réserve Utile par excès de l'unité typologique dominante (millimètre)
RUD	<i>Numérique</i>	Réserve Utile par défaut de l'unité typologique dominante (millimètre)
OCCUP	<i>Numérique</i>	Part de l'unité typologique dominante dans l'unité cartographique (entre 0 et 1)
DESCRp	<i>Caractère</i>	Libellé de la classe pédologique en 33 modalités

Annexe 4 : Unités géologiques et pédologiques



Figure 5: Distribution des 31 formations géologiques du périmètre étudié.

Sources : INRA / BRGM.

Lecture : La carte représente les 31 unités géologiques qui regroupent des sous-sols homogènes selon la formation géologique renseignée dans la base de données. Ces unités seront simplifiées avant l'inclusion dans le modèle statistique.

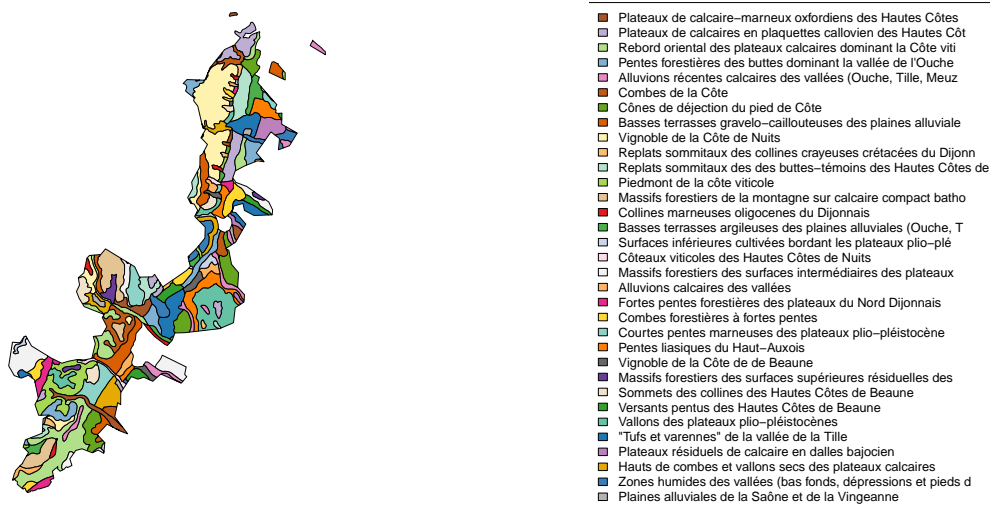


Figure 6: Distribution des unités cartographiques de sols et leurs intitulés.

Sources : INRA / Gis Sol.

Lecture : La carte représente les 33 unités cartographiques de sols qui correspondent à des pédo-paysages homogènes en termes de climat, topographie et géologie. Ces unités seront simplifiées avant l'introduction dans le modèle statistique.

Annexe 5 : Interface utilisateur de l'application

```
ui <- function(request){
  fluidPage(sidebarLayout(
    sidebarPanel(
      width= 2,
      selectInput("niveau",label= "Niveau de l'appellation",
        choices=
          c(as.character(unique(Poly.Ras$NIVEAU))),
        selected= 1),
      selectInput("commune", label= "Commune de la parcelle",
        choices= c(
          as.character(unique(Poly.Ras$LIBCOM)),
          "TOUTES"), selected= 1),
      selectInput("nom", label= "Lieu dit de la parcelle",
        choices= c(
          as.character(unique(Poly.Ras$NOM)),
          "TOUS"), selected = 1),
      bookmarkButton()
    ),
    mainPanel(
      width= 3,
      tabsetPanel(id = "inTabset",
        tabPanel(title = "Carte",
          leafletOutput("mymap", height= 645)),
        tabPanel(title = "Figure", plotOutput("miplot")),
        tabPanel(title = "Détails",
          includeMarkdown("README.md"))
      )
    )
  )
})
```

Annexe 6 : Partie serveur de l'application

```
server <- function(input, output, session) {
  ## Reactive values
  values <- reactiveValues(niveau= NULL, commune= NULL, nom= NULL)
  ## Initialisation reactive values
  observe({
    if (is.null(values$niveau)) values$niveau <- input$niveau
    if (is.null(values$commune)) values$commune <- input$commune
    if (is.null(values$nom)) values$nom <- input$nom
  })
  ## MAJ des reactive values apres un click sur un polygone
  observeEvent(input$mymap_shape_click,{
    values$niveau <- Pts.Crd$NIVEAU[Pts.Crd$Concat==
                                     input$mymap_shape_click$id]
    values$nom <- Pts.Crd$NOM[Pts.Crd$Concat==
                              input$mymap_shape_click$id]
    values$commune <- Pts.Crd$LIBCOM[Pts.Crd$Concat==
                                     input$mymap_shape_click$id]
  })
  ## MAJ des reactive values apres un choix dans menus deroulants
  observeEvent(c(input$commune, input$niveau, input$nom),{
    if (values$niveau != input$niveau) {
      values$niveau <- input$niveau
      values$commune <- Pts.Crd$LIBCOM[Pts.Crd$NIVEAU==
                                       values$niveau][ 1]
      values$nom <- Pts.Crd$NOM[Pts.Crd$LIBCOM==
                               values$commune][ 1]
    }
    else if (values$commune != input$commune) {
      values$commune <- input$commune
      values$nom <- Pts.Crd$NOM[Pts.Crd$LIBCOM== values$commune][ 1]
    }
    else if (values$nom!=input$nom){
      values$nom<-input$nom
    }
  })
  ## MAJ menus deroulants
  observeEvent(c(values$commune, values$niveau, values$nom),{
    updateSelectInput(session, "niveau",
                      choices= c(as.character(
                                unique(Poly.Ras$NIVEAU))),
                      selected=values$niveau)
    updateSelectInput(session, "commune",
                      choices= c(as.character(
                                unique(Poly.Ras$LIBCOM[Poly.Ras$NIVEAU %in%
                                                         values$niveau]))),
                      selected=values$commune)
    updateSelectInput(session, "nom",
                      choices= c(as.character(
                                unique(Poly.Ras$NOM[Poly.Ras$LIBCOM %in%
                                                         values$commune &
                                                         Poly.Ras$NIVEAU %in%
                                                         values$niveau]))),
                      selected=values$nom)
  })
  ## Subset donnees
  getPts <- reactive({
    Pts.Crd[Pts.Crd$NIVEAU %in% values$niveau &
```

```

        Pts.Crd$LIBCOM %in% values$commune &
        Pts.Crd$NOM %in% values$nom, ]})
## Carte de base
output$mymap <- renderLeaflet({
  map@map
})
## Rafraichissement carte
observe({
  gg <- getPts()
  if (nrow(gg)== 0) return(NULL)
  else {
    bound_box <- as.numeric(st_bbox(Poly.Ras[Poly.Ras$Concat %in%
                                     gg$Concat,]))
    leafletProxy("mymap") %>%
      clearMarkers() %>%
      fitBounds(lng1= bound_box[ 3], lng2= bound_box[ 1],
                lat1= bound_box[ 4], lat2= bound_box[ 2]) %>%
      addCircleMarkers(data= (getPts()))}
})
## Violon Plot de base
output$miplot <- renderPlot({
  yop <- getPts()$SCORE_c
  if (length(yop)==0) return(NULL)
  top <- round(100-
               aggregate(I(Poly.Ras$SCORE_c< yop)* 100,
                           by= list(Poly.Ras$NIVEAU), mean)[, 2])
  ggplot(Poly.Ras, aes(x= factor(NIVEAU),
                       y= SCORE_c, fill= factor(NIVEAU)))+
  geom_violin(trim= FALSE)+ theme_minimal()+ ylim(40, 100)+
  geom_boxplot(width=0.1, fill= "white")+
  annotate("text", x= 1: 5, y= 100,
           label= paste("", top, "%"), col= "red", size= 5)+
  labs(title= "Comparaison avec les autres parcelles",
       x= "",
       y = "Niveau sur une échelle de 1 à 100")+
  scale_fill_manual(values= AocPal)+
  theme(legend.position= "none",
        plot.title = element_text(hjust = 0, size = 16),
        axis.text.x = element_text(size= 12),
        axis.title.x = element_text(hjust= 0, size= 14),
        axis.title.y = element_text(size= 14))+
  scale_x_discrete(expand= expand_scale(mult= 0, add= 1),
                   drop= T)+
  geom_hline(yintercept= yop, lty= 2, col= "red")+
  annotate("text", x= 0.35, y= yop+ 2,
           label= round(yop, 2), col= "red", size= 5)
}, height = 500, width = 400)}

```
